

Оценки прогнозов метеорологических полей, рассчитанные для
различных моделей по территории России
за период: январь 2026 г. (исходный срок: 12 ч ВСВ)

На графиках представлены следующие модели:

UKMO - Метеорологический центр Великобритании (сетка поступления $1^\circ \times 1^\circ$);

NCEP - Метеорологический центр США (сетка $0,5^\circ \times 0,5^\circ$);

ICON - Метеорологический центр ФРГ (сетка $0,25^\circ \times 0,25^\circ$);

ICON-Ru - модель ICON, которая рассчитывается в ФГБУ «Гидрометцентр России»
(сетка $0,25^\circ \times 0,25^\circ$);

ECMWF - модель Европейского Центра среднесрочных прогнозов (сетка $0,4^\circ \times 0,4^\circ$);

PLAV10 - полулагранжева модель с разрешением ~ 10 км (ФГБУ «Гидрометцентр России»,
автор М.А. Толстых);

COSMO-6,6 - негидростатическая мезомасштабная модель с шагом сетки 6,6 км
(Консорциум COSMO, ФГБУ «Гидрометцентр России»).

Заметим, что реальное разрешение в этих моделях 10-15 км.

График изменения средней квадратической ошибки прогноза P_0
в зависимости от заблаговременности.
Регион: Россия (Оценка по сетке $0,5^\circ \times 0,5^\circ$).

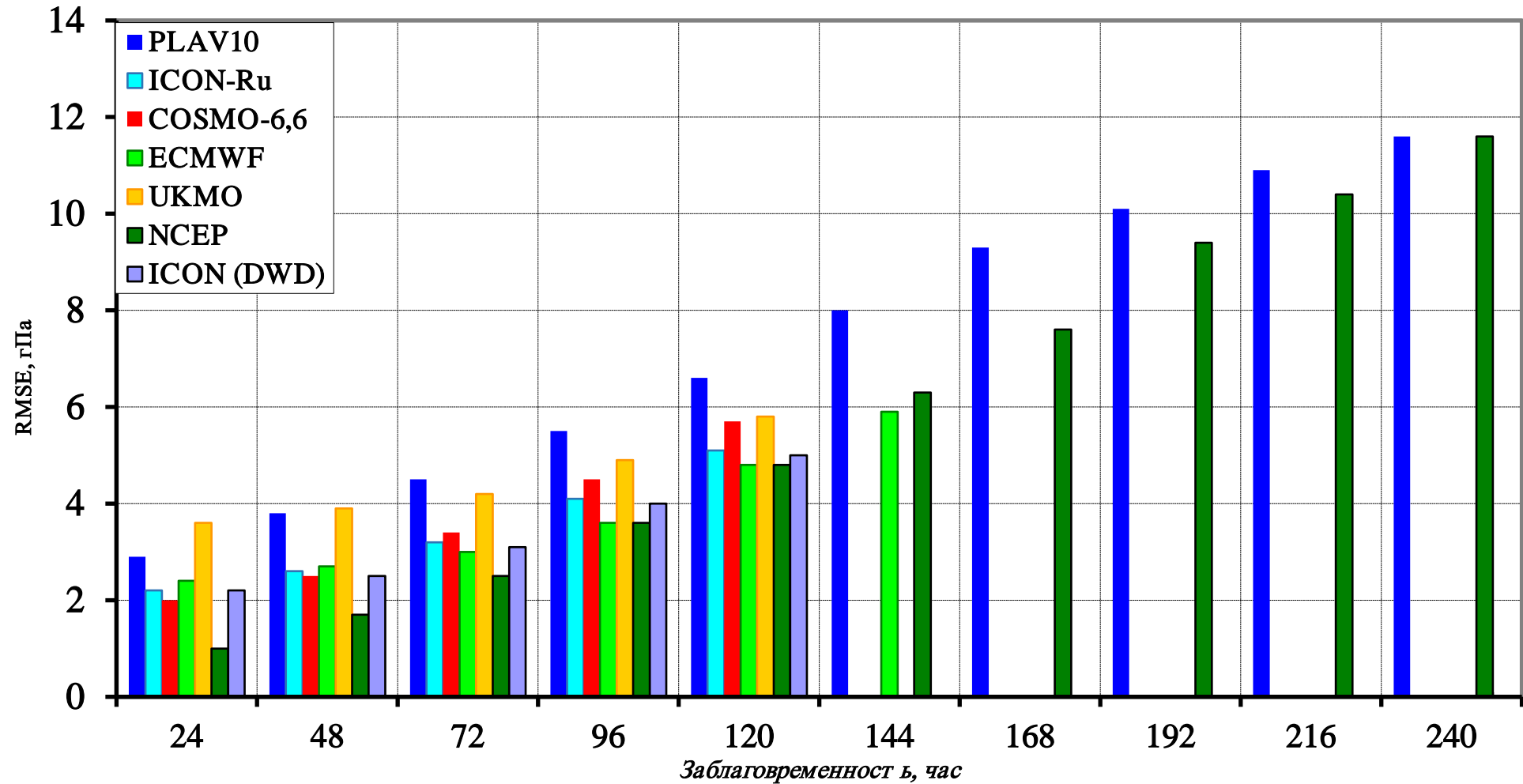


График изменения средней квадратической ошибки прогноза Н-500
в зависимости от заблаговременности.
Регион: Россия (Оценка по сетке 0,5° x 0,5°).

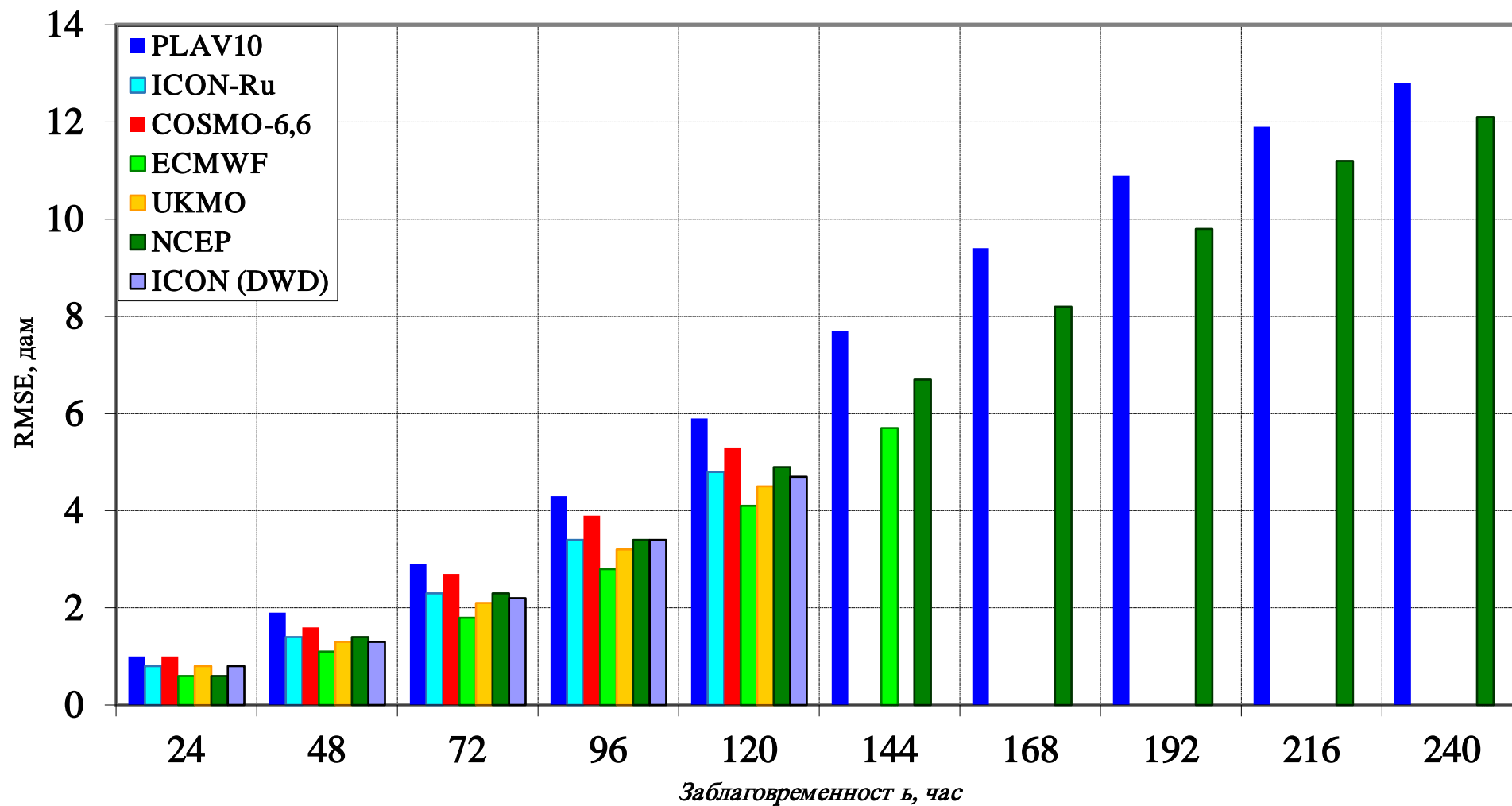


График изменения средней квадратической ошибки прогноза T-850
в зависимости от заблаговременности.
Регион: Россия (Оценка по сетке 0,5° x 0,5°).

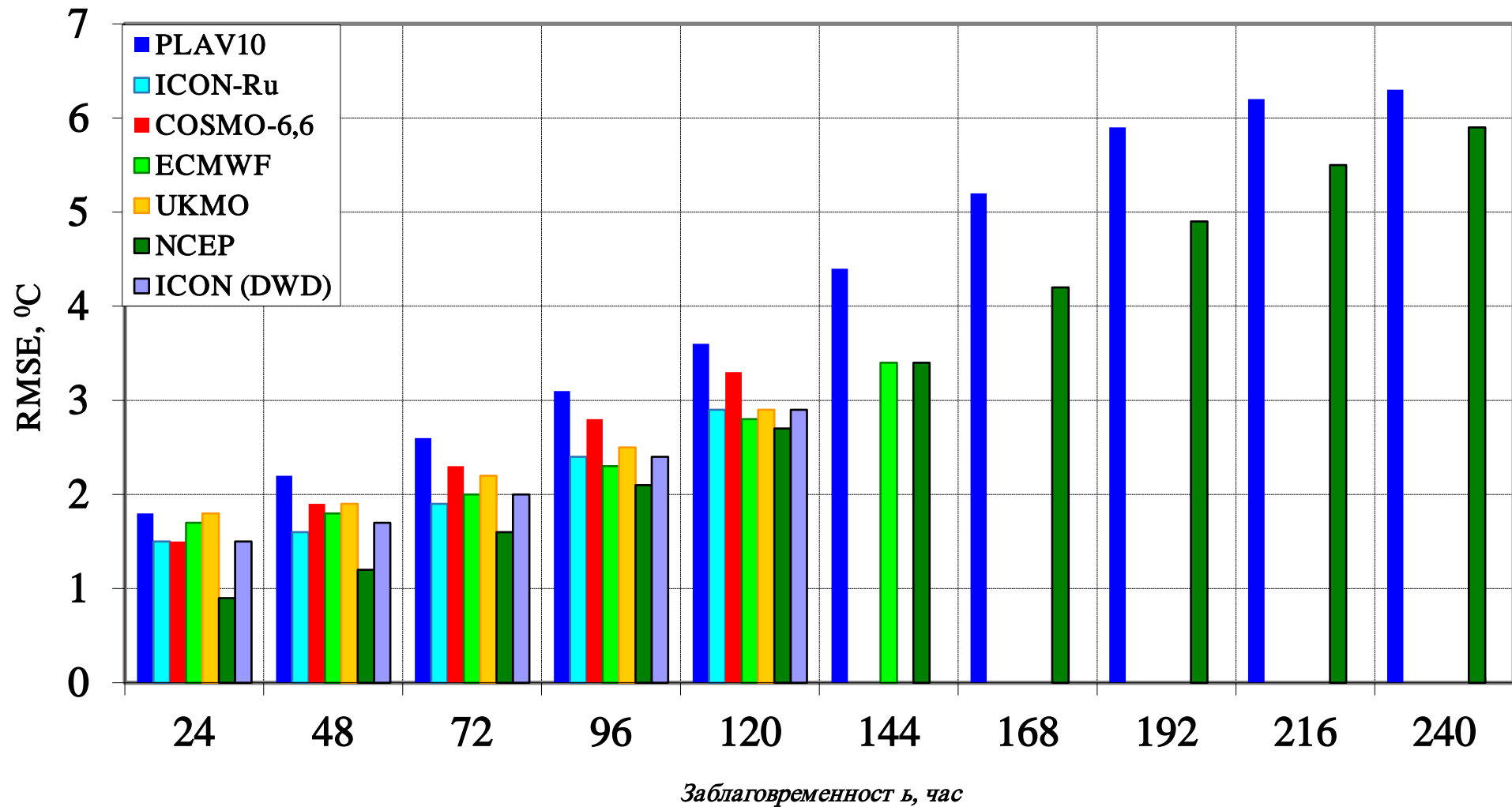


График изменения средней квадратической векторной ошибки прогноза V-250
в зависимости от заблаговременности.

Регион: Россия (Оценка по сетке $0,5^\circ \times 0,5^\circ$).

RMSE, м/с

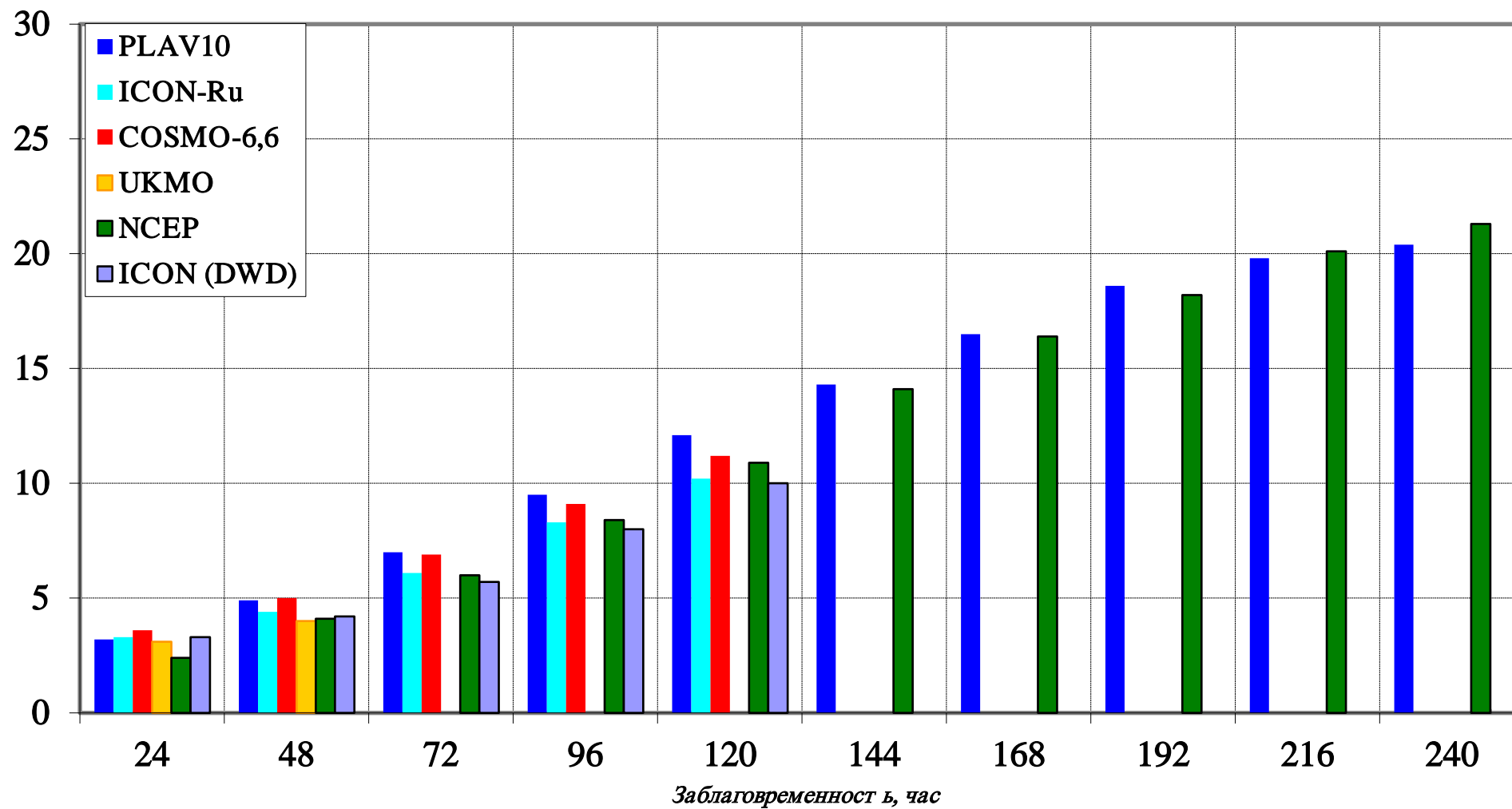


График изменения абсолютной ошибки прогноза T_z
в зависимости от заблаговременности. Регион: Россия (Оценка по сетке $0,5^\circ \times 0,5^\circ$).

